

Решение уравнения Лапласа методом конечных элементов с помощью FEniCS

Шклярник Ю.Н., 6 группа, 3 курс

Глава 1

Решение задачи на прямоугольной области с разрывными граничными условиями Дирихле

1.1 Постановка задачи

Рассчитать поле, порождаемое заряженной пластиной в однородной среде.

1.2 Математическая модель

$$\begin{cases} \Delta u = 0, \\ u(0, y) = 0, \quad u(a, y) = 0, \\ u(x, 0) = 0, \quad u(x, b) = f(x), \end{cases} \quad (1.1)$$

где $f(x) = \alpha I_{[l, r]}(x)$.

1.3 Аналитическое решение

Воспользуемся методом разделения переменных. Будем искать решение в виде

$$u(x, y) = X(x)Y(y).$$

Получаем систему уравнений

$$\frac{X''(x)}{X(x)} = -\frac{Y''(y)}{Y(y)} = -\lambda. \quad (1.2)$$

Задача Штурма-Лиувилля для $X(x)$:

$$\begin{cases} X''(x) + \lambda X(x) = 0, \\ X(0) = X(a) = 0. \end{cases} \quad (1.3)$$

Получаем собственные значения:

$$\sqrt{\lambda_n} = \mu_n = \frac{\pi n}{a}.$$

Собственные функции для задачи (1.3) с точностью до константы имеют вид

$$X_n(x) = \sin \mu_n x.$$

Задача для $Y(y)$:

$$\begin{cases} Y_n''(x) - \lambda_n Y_n(x) = 0, \\ Y_n(0) = 0. \end{cases} \quad (1.4)$$

Имеем

$$Y_n(y) = C_{n1} e^{-\mu_n y} + C_{n2} e^{\mu_n y} \quad (1.5)$$

$$Y_n(0) = C_{n_1} + C_{n_2} = 0.$$

Значит,

$$Y_n(y) = C_n \operatorname{sh} \mu_n y \quad (1.6)$$

$$u(x, y) = \sum_{n=1}^{\infty} C_n \operatorname{sh} \mu_n y \sin \mu_n x \quad (1.7)$$

$$\begin{aligned} C_n &= \frac{2}{b \operatorname{sh} \mu_n b} \int_0^b f(x) \sin \mu_n x \, dx = \frac{2\alpha}{b \operatorname{sh} \mu_n b} \int_l^r \sin \mu_n x \, dx = \frac{2\alpha}{b \mu_n \operatorname{sh} \mu_n b} (\cos \mu_n l - \cos \mu_n r) = \\ &= \frac{4\alpha}{b \mu_n \operatorname{sh} \mu_n b} \sin \frac{\mu_n}{2} (l + r) \sin \frac{\mu_n}{2} (r - l). \end{aligned} \quad (1.8)$$

Окончательное решение:

$$u(x, y) = \frac{4\alpha}{b} \sum_{n=1}^{\infty} \frac{\sin \left(\frac{\mu_n}{2} (l + r) \right) \sin \left(\frac{\mu_n}{2} (r - l) \right)}{\mu_n \operatorname{sh} \mu_n b} \operatorname{sh} \mu_n y \sin \mu_n x. \quad (1.9)$$

Глава 2

Решение методом конечных элементов

2.1 Слабая формулировка задачи

Домножим уравнение $\Delta u = 0$ на пробную функцию v и проинтегрируем по области $\Omega = (0, a) \times (0, b)$:

$$\int_{\Omega} v \Delta u \, d\Omega = 0. \quad (2.1)$$

По формуле интегрирования по частям,

$$\int_{\Omega} v \Delta u \, d\Omega = \int_{\partial\Omega} v \frac{\partial u}{\partial n} \, dS - \int_{\Omega} \nabla v \nabla u \, d\Omega = - \int_{\Omega} \nabla v \nabla u \, d\Omega. \quad (2.2)$$

Слабая формулировка задачи:

$$\int_{\Omega} \nabla v \nabla u \, d\Omega = 0 \quad (2.3)$$

2.2 Визуализация

Визуализация для случая $a = b = 1$, $n = 30$, $\alpha = 0.05$.

2.3 Оценка скорости сходимости численного решения

Зададим шаг равномерной прямоугольной сетки $h = \frac{1}{n}$. Произведём эксперименты с $h_0 > h_1 > h_2 > \dots$ и получим соответствующие невязки e_0, e_1, e_2, \dots . Предположим, что $e_i = Ch_i^r$. По результатам 2-ух экспериментов можно оценить r :

$$r = \frac{\ln \frac{e_{i+1}}{e_i}}{\ln \frac{h_{i+1}}{h_i}}. \quad (2.4)$$

Результат:

n= 8 e=0.00057016 r=-0.285764

n= 16 e=0.00069505 r=2.118793

n= 32 e=0.00016003 r=-0.557871

n= 64 e=0.00023558 r=2.017781

n=128 e=0.00005817 r=-0.613936

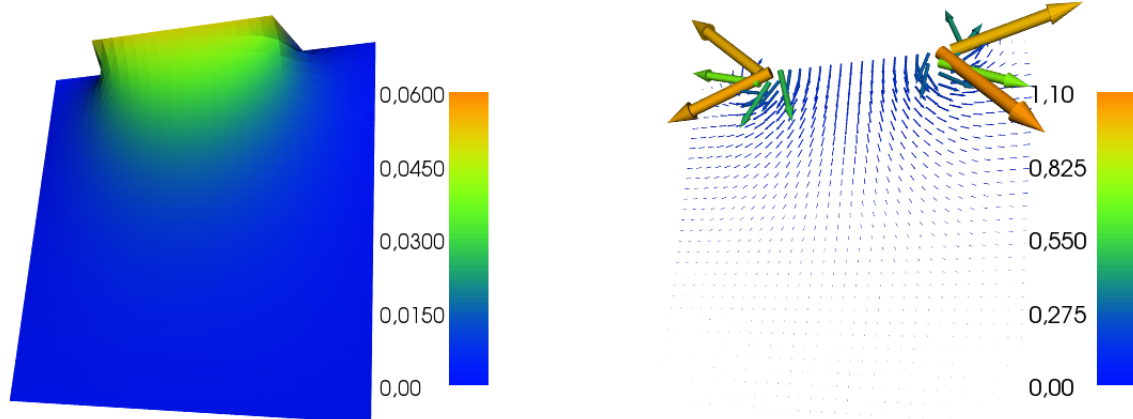


Рис. 2.1: Визуализация потенциала и напряжённости, полученных методом конечных элементов

Глава 3

Решение задачи на прямоугольной области с непрерывными граничными условиями Дирихле

3.1 Постановка задачи

$$\begin{cases} \Delta u = 0, \\ u(0, y) = 1 - y^2, \quad u(1, y) = 2 - y^2, \\ u(x, 0) = 1 + x^2, \quad u(x, 1) = x^2, \end{cases} \quad (3.1)$$

3.2 Аналитическое решение

Решением уравнения (3.1) является функция

$$u = 1 + x^2 - y^2. \quad (3.2)$$

3.3 Решение методом конечных элементов

3.4 Визуализация

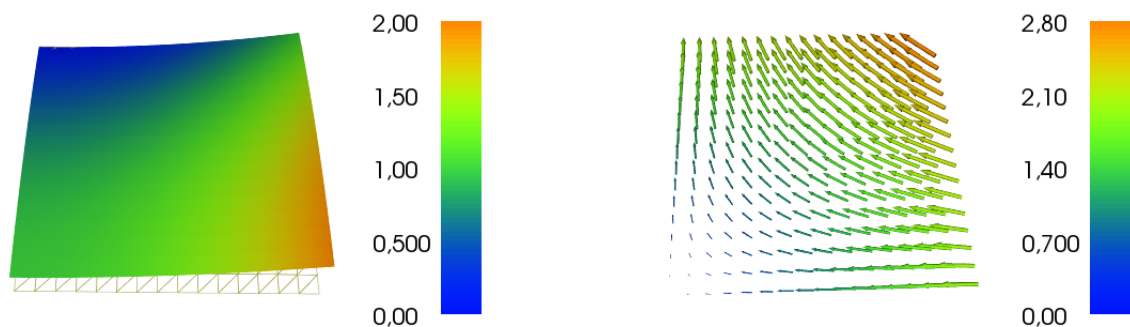


Рис. 3.1: Визуализация потенциала и напряжённости, полученных методом конечных элементов

3.5 Оценка скорости сходимости численного решения

Зададим шаг равномерной прямоугольной сетки $h = \frac{1}{n}$. Произведём эксперименты с $h_0 > h_1 > h_2 > \dots$ и получим соответствующие невязки e_0, e_1, e_2, \dots . Предположим, что $e_i = Ch_i^r$. По результатам 2-ух экспериментов можно оценить r :

$$r = \frac{\ln \frac{e_{i+1}}{e_i}}{\ln \frac{h_{i+1}}{h_i}}. \quad (3.3)$$

Результат:

```
n= 4 e=0.00658808 r=1.99999999999993
n= 8 e=0.00164702 r=1.99999999999982
n= 16 e=0.00041175 r=1.99999999999973
n= 32 e=0.00010294 r=1.99999999999943
n= 64 e=0.00002573 r=1.99999999999871
n=128 e=0.00000643 r=1.99999999999731
n=256 e=0.00000161
```

Можно сделать вывод, что погрешность метода имеет квадратичную зависимость от шага сетки.

Глава 4

Решение задачи для бесконечной заряженной пластины

4.1 Постановка задачи

$$\begin{cases} \Delta u = 0, \\ u|_{-l \leq y \leq l, z=0} = u_0, \\ u|_{y=0, z=z_0} = 0. \end{cases} \quad (4.1)$$

Решение задачи не зависит от x , поэтому сведём трёхмерную задачу к двумерной задаче. Также воспользуемся тем, что на достаточно больших расстояниях от $R \gg l$ можно пренебречь размерами проводника, считая бесконечную пластину бесконечной нитью. Потенциал, создаваемый нитью будет иметь вид $u = \lambda \ln r$, где r – расстояние от оси нити. Поэтому будем численно решать следующую задачу на прямоугольнике с границей Γ :

$$\begin{cases} \Delta u = 0, \\ u|_{-l \leq y \leq l, z=0} = u_0, \\ u|_{\Gamma} = \lambda \ln r, \end{cases} \quad (4.2)$$

где r – расстояние от точки границы Γ до начала системы координат.

Параметр λ будет подбираться в ходе вычисления решения задачи (4.2) при различных λ , принадлежащих заранее заданному отрезку, выбираемых на каждом следующем этапе по методу дихотомического поиска с условием $u|_{y=0, z=z_0} = 0$.

Глава 5

Задача для тонкого диска

5.1 Постановка задачи

$$\begin{cases} \Delta u = 0, \\ u|_{\Gamma} = u_0, \\ u \xrightarrow[r \rightarrow \infty]{} 0. \end{cases} \quad (5.1)$$

Заменяем условие на бесконечности условием на достаточно большом радиусе R , так как заряженный диск на больших расстояниях можно считать точечным зарядом.

Воспользуемся тем, что решение не зависит от φ , симметрично относительно $\rho = 0$ и $z = 0$ и сведём трёхмерную задачу к двумерной задаче на прямоугольнике $[0, R] \times [0, R]$.

$$\begin{cases} \Delta u = 0, \\ \left. \frac{\partial u}{\partial \rho} \right|_{\rho=0} = 0, \\ \left. \frac{\partial u}{\partial z} \right|_{z=\pm 0} = I_{[0,r]} \frac{\sigma}{2\varepsilon_0}, \\ u|_{\Gamma_D} = \frac{\sigma r^2}{4\varepsilon_0 r}. \end{cases} \quad (5.2)$$

5.2 Слабая формулировка задачи

Оператор Лапласа в цилиндрических координатах:

$$\Delta u = \frac{1}{\rho} \frac{\partial}{\partial \rho} \left(\rho \frac{\partial u}{\partial \rho} \right) + \frac{1}{\rho^2} \frac{\partial^2 u}{\partial \varphi^2} + \frac{\partial^2 u}{\partial z^2}. \quad (5.3)$$

Домножим уравнение $\Delta u = 0$ на пробную функцию v и проинтегрируем по области $\Omega = (0, R) \times (0, h)$ и рассмотрим левую часть:

$$\int_{\Omega_X} (\Delta_{(x,y,z)} u) v \, d\Omega_X = \int_{\Omega} \left(\frac{\partial u}{\partial \rho} v + \frac{\partial^2 u}{\partial \rho^2} v \rho + \frac{\partial^2 u}{\partial z^2} v \rho \right) d\Omega = \int_{\Omega} \left(\frac{\partial u}{\partial \rho} v + \Delta u v \rho \right) d\Omega. \quad (5.4)$$

$$\int_{\Omega} (\Delta u v \rho) \, d\Omega = \int_{\partial\Omega} \rho v \frac{\partial u}{\partial n} \, dS - \int_{\Omega} \nabla u \nabla v \rho \, d\Omega = \int_{\partial\Omega} \rho v \frac{\partial u}{\partial n} \, dS - \int_{\Omega} \nabla u \nabla v \rho \, d\Omega - \int_{\Omega} \frac{\partial u}{\partial \rho} v \, d\Omega. \quad (5.5)$$

Подставляя (5.5) в (5.4), получаем

$$a(u, v) = \int_{\partial\Omega} \rho v \frac{\partial u}{\partial n} \, dS - \int_{\Omega} \nabla u \nabla v \rho \, d\Omega. \quad (5.6)$$

Таким образом, слабая формулировка задачи (5.2):

$$\int_{\Omega} \nabla u \nabla v \rho \, d\Omega - \int_{\partial\Omega} \rho v \frac{\partial u}{\partial n} \, dS = 0. \quad (5.7)$$